

5 理想条件下的完整井非稳定流模型

yanggy1010@126.com

Table of Contents

5 理想条件下的完整井非稳定流模型
5.1 承压水完整井的非稳定流模型
5.1.1 Theis 模型
5.1.2 Theis 公式的近似形式
5.1.3 Theis 公式讨论
5.1.4 变流量的计算公式
5.2 有越流补给的半承压水完整井非稳定流模型
5.2.1 Hantush-Jacob 模型
5.2.2 Hantush-Jacob 公式讨论
5.3 有弱透水层弹性释水补给的半承压水完整井非稳定流模型
5.3.1 Hantush 模型
5.3.2 公式讨论
5.4 潜水完整井的非稳定流模型
5.4.1 潜水井流特征
5.4.2 考虑迟后疏干的的 Boulton 模型
5.4.3 考虑流速垂直分量和弹性释水的 Neumann 模型

5.1 承压水完整井的非稳定流模型

5.1.1 Theis 模型

- 含水层均质各向同性、等厚, 侧向无限延伸, 产状水平;
- 抽水前天然状态下水力坡度为零;
- 完整井定流量抽水, 井径无限小;
- 含水层中水流服从 Darcy 定律;
- 水头下降引起的地下水从贮存量中的释放是瞬时完成的。

抽水后会形成以井轴为对称轴的降落漏斗. 如图 4.1 建立坐标系, 记 $s = H_0 - H$

数学模型

$$\begin{cases} \frac{\partial^2 s}{\partial r^2} + \frac{1}{r} \frac{\partial s}{\partial r} = \frac{S}{T} \frac{\partial s}{\partial t} & t > 0, 0 < r < \infty \\ s(r, 0) = 0 & 0 < r < \infty \\ s(\infty, t) = 0, \frac{\partial s}{\partial r} \Big|_{r \rightarrow \infty} = 0 & t > 0 \\ \lim_{r \rightarrow 0} \left(r \frac{\partial s}{\partial r} \right) = -\frac{Q}{2\pi T} \end{cases} \quad (\text{I})$$

求解方法: 可用分离变量法、Laplace 变换、Hankel 变换或 Boltzmann 变换法求解。

$$s = \frac{Q}{4\pi T} \int_u^\infty \frac{e^{-y}}{y} dy = \frac{Q}{4\pi T} W(u)$$

式中, $u = \frac{r^2 S}{4Tt}$ 。

上式称为 Theis 公式, $W(u)$ 称为 Theis 井函数:

$$W(u) = \int_u^\infty \frac{e^{-y}}{y} dy = E_1(u) = -E_i(-u)$$

式中, $E_i(u) = \int_{-\infty}^u \frac{e^y}{y} dy$ 、 E_i 、 E_1 称为指数积分。

5 理想条件下的完整井非稳定流模型

地下水向抽水井的运动,用柱坐标表示微分方程时,推荐使用 Laplace 变换法求解,可用 Python 编程计算.



- 做 Laplace 变换, 相空间的解包含修正 Bessel 函数. `scipy.special` 模块中有相应函数;
- 做 Laplace 逆变换, `mpmath` 模块中有 `invertlaplace` 函数 (talbot, stehfest, dehoog 三种算法);
- 也可直接编程计算.

5.1.2 Theis 公式的近似形式

$W(u)$ 的级数形式

$$W(u) = -0.577216 - \ln u + u - \sum_{n=2}^{\infty} (-1)^n \frac{u^n}{n \cdot n!}$$

除前三项外为交错级数; u 很小时, 用 $-0.577216 - \ln u$ 代替 $W(u)$ 的截断误差不超过 $2u$.

u	井函数相对误差
≤ 0.1	≤ 0.05
≤ 0.05	≤ 0.02
≤ 0.01	≤ 0.0025

u 很小时 $W(u) \approx -0.577216 - \ln u = \ln \frac{2.25Tt}{r^2 S}$, 有

$$s = \frac{Q}{4\pi T} \ln \frac{2.25Tt}{r^2 S} = \frac{0.183Q}{T} \lg \frac{2.25Tt}{r^2 S}$$

上式称为 Jacob 公式.

$W(u)$ 的多项式逼近

- $0 < u \leq 1$ 时

$$W(u) = -\ln u + a_0 + a_1 u + a_2 u^2 + a_3 u^3 + a_4 u^4 + a_5 u^5$$

式中

$$\begin{aligned} a_0 &= -0.57721566 & a_3 &= 0.05519968 \\ a_1 &= 0.99999193 & a_4 &= -0.00976004 \\ a_2 &= -0.24991055 & a_5 &= 0.00107857 \end{aligned}$$

- $1 < u < \infty$ 时

$$W(u) = \frac{b_0 + b_1 u + b_2 u^2 + b_3 u^3 + u^4}{c_0 + c_1 u + c_2 u^2 + c_3 u^3 + u^4} \cdot \frac{e^{-u}}{u}$$

式中

$$\begin{aligned} b_0 &= 0.2677737343 & c_0 &= 3.9584969228 \\ b_1 &= 8.6347608925 & c_1 &= 21.0996530827 \\ b_2 &= 18.0590169730 & c_2 &= 25.6329561486 \\ b_3 &= 8.5733287401 & c_3 &= 9.5733223454 \end{aligned}$$

5 理想条件下的完整井非稳定流模型

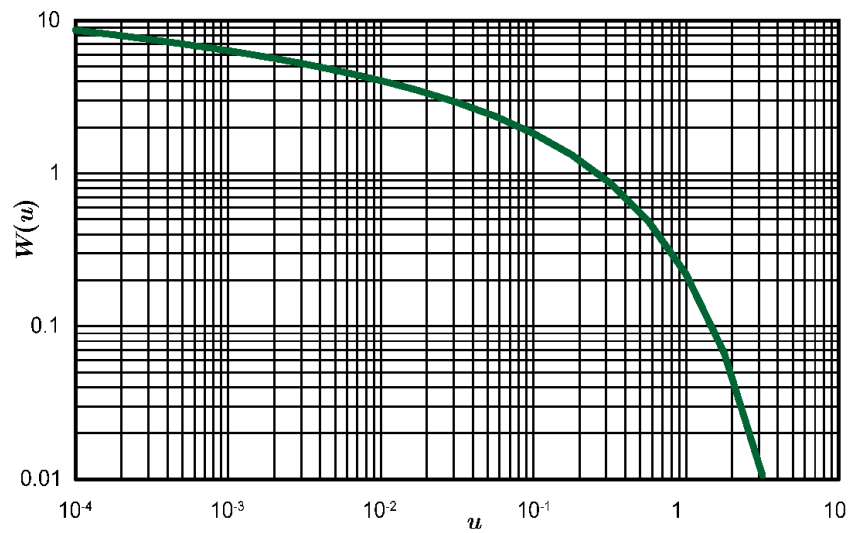
求 $W(u)$ 的VBA程序

```
'To compute the exponential integral W(x) for 0<x<infinity.
Function W(x)
    A0 = -0.57721566
    A1 = 0.99999193
    A2 = -0.24991055
    A3 = 0.05519968
    A4 = -0.00976004
    A5 = 0.00107857
    B0 = 0.2677737343
    B1 = 8.6347608925
    B2 = 18.059016973
    B3 = 8.5733287401
    C0 = 3.9584969228
    C1 = 21.0996530827
    C2 = 25.6329561486
    C3 = 9.5733223454

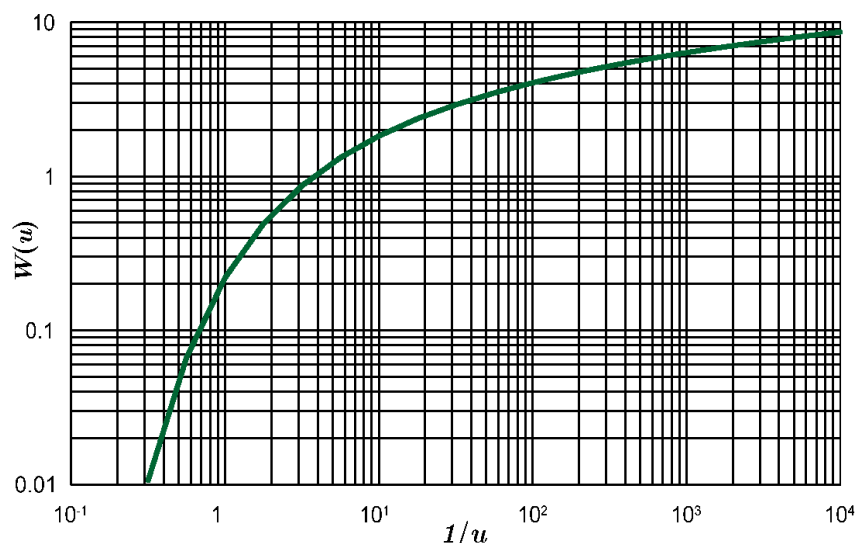
    If x <= 1 Then
        W = -Log(x) + A0 + x * (A1 + x * (A2 + x * (A3 + x * (A4 + x * A5))))
    Else
        P1 = B0 + x * (B1 + x * (B2 + x * (B3 + x)))
        P2 = C0 + x * (C1 + x * (C2 + x * (C3 + x)))
        W = (P1 / P2) * Exp(-x) / x
    End If
End Function
```

标准曲线

$W(u) \sim u$ 曲线



$W(u) \sim \frac{1}{u}$ 曲线



$W(u) \sim \frac{1}{u}$ 的单调性与 $s \sim t$ 一致, 因此经常使用的标准曲线为 $W(u) \sim \frac{1}{u}$ 曲线。

由 $\frac{T}{S} = \frac{r^2}{4t} \cdot \frac{1}{u}$ 可以看出, 对于固定的 r, t , 尽管含水层参数不同, 但 $\frac{1}{u}$ 有可能相同, 因而在标准曲线上对应同一点。

对于固定的 r, t , 不同的含水层参数可能对应于标准曲线上的不同点。如取 $r = 100\text{m}$, $t = 10\text{min}$, $\frac{T}{S}$ 分别取 $3.6 \times 10^5 \text{m}^2/\text{d}$ 、 $3.6 \times 10^7 \text{m}^2/\text{d}$, 则 $\frac{1}{u}$ 分别为 1、0.001, 相差两个对数周期。

5.1.3 Theis 公式讨论

标准曲线 $W(u) \sim \frac{1}{u}$ 单调性与 $s \sim t$ 一致, 比较常用。

(1) 降深变化规律

- 同一时间观测 (t 固定): $r \uparrow \implies s \downarrow, r \rightarrow \infty \implies s \rightarrow 0$.
- 同一柱状断面 (r 固定): $t \uparrow \implies s \uparrow, t = 0 \implies s = 0$.

(2) $t \rightarrow \infty \implies s \rightarrow \infty$ 正确性

- 数学意义上是正确的!
- 从时间无限性与空间有限性考虑, 是不可能发生的!

(3) 等水头线方程

当 u 很小时,

$$x^2 + y^2 = \frac{2.25Tt}{S} e^{-\frac{4\pi Ts}{Q}}$$

给定时刻 t , 等水头线是以井为圆心的同心圆。

(4) 水头下降速度

$u < 0.01$ 时,

$$\frac{\partial s}{\partial t} \approx \frac{Q}{4\pi T} \cdot \frac{1}{t}$$

- 给定时刻 t : 近处水头降速大, 远处降速小.
- 抽水后期: 在一定范围内水位大致等幅下降.

令 $\frac{\partial^2 s}{\partial t^2} = 0$ 可求出拐点: $t_i = \frac{r^2 S}{4T} (u_i = 1)$ 。

r 处的观测孔:

- $t < t_i$ 时, 水头下降速度随 t 逐渐增大;
- $t > t_i$ 时, 水头下降速度随 t 逐渐减小;
- $t = t_i$ 时 $\frac{\partial s}{\partial t}$ 最大。

拐点处降深

$$s_i = \frac{Q}{4\pi T} W(u_i) = \frac{Q}{4\pi T} \times 0.2194 = 0.0175 \frac{Q}{T}$$

(5) 柱面渗透速度

$$v = \frac{Q}{2\pi r M} e^{-\frac{r^2 s}{4T}} = v' e^{-\frac{r^2 s}{4T}}$$

式中: v' 为稳定流渗透速度. $u < 0.01$ 时距抽水井 r 处的观测孔达到似稳定状态.

距抽水井 r 处柱状过水断面流量

$$Q_r = -2\pi r M K \frac{\partial s}{\partial r} = Q e^{-\frac{r^2 s}{4T}}$$

- $r \rightarrow 0$ 时, $Q_r \rightarrow Q$;
- $u < 0.01$ 时, $e^{-\frac{r^2 s}{4T}} \approx 1$.

离抽水井越近, 柱状过水断面流量大. 抽水时间足够长 ($u < 0.01$) 各柱状断面的流量近似相等.

(6) 类似Thiem公式的形式

长时间抽水 ($u < 0.01$) 后 Jacob 公式成立. 对于 r_1 、 r_2 处的观测孔

$$\begin{aligned} s_1 &= \frac{Q}{4\pi T} \ln \frac{2.25 T t}{r_1^2 S} \\ s_2 &= \frac{Q}{4\pi T} \ln \frac{2.25 T t}{r_2^2 S} \end{aligned}$$

相减得

$$s_1 - s_2 = \frac{Q}{2\pi T} \ln \frac{r_2}{r_1}$$

(7) 无限小井径假设

$u_{r_w} < 0.01$ 时 $Q_w \approx Q$ 的误差不超过 1%.

(8) 零天然水力坡度假设

地下水水力坡度一般都比较小, 水力坡度为零的假设对计算结果影响不大; 特殊情况下还可以应用叠加原理进行处理.

(9) 影响半径

无限延申的无越流补给承压含水层中的抽水井, 抽水时间越长, 降落漏斗范围越大. 抽水影响范围可借助于“影响半径”进行分析. 将 Jacob 公式改写为

$$s = \frac{Q}{2\pi T} \ln \frac{1.5 \sqrt{Tt/S}}{r}$$

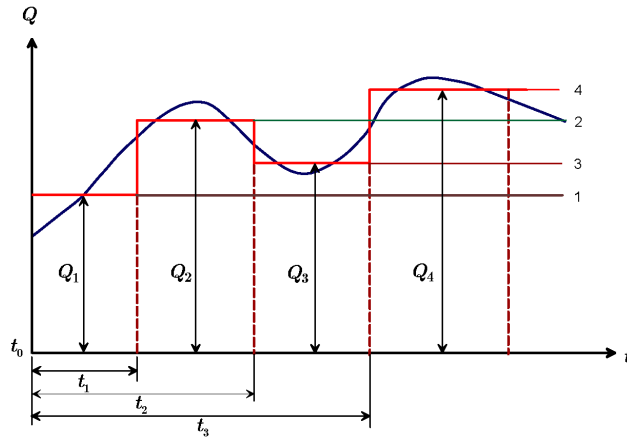
比照 Dupuit 公式, 形式上影响半径为 $R = 1.5\sqrt{Tt/S}$. Cheng, A.H.-D.^[1] 以总抽水量 99% 来自含水层的弹性释水为标准, 得出影响半径为 $R = 3.49\sqrt{Tt/S}$.

这两个公式尽管有差异, 但都可用来评估长时间抽水的影响范围。

1. Cheng, A.H.-D., Multilayered Aquifer Systems—Fundamentals and Applications, Marcel Dekker, New York/Basel, 384 p., 2000.

5.1.4 变流量的计算公式

流量变化时的计算公式 将流量曲线概化为阶梯曲线; 每一个阶梯视为定流量, 用叠加原理 (时间叠加) 求出总降深。



如图, 概化为 4 个阶梯, 分解成 4 个问题:

1. $t_0 \rightarrow t$ 以 Q_1 抽水;
2. $t_1 \rightarrow t$ 以 $Q_2 - Q_1$ 抽水;
3. $t_2 \rightarrow t$ 以 $Q_3 - Q_2$ 注水;
4. $t_3 \rightarrow t$ 以 $Q_4 - Q_3$ 抽水.

各阶梯流量抽水引起的降深:

1. $s_1 = \frac{Q_1 - Q_0}{4\pi T} W \left(\frac{r^2 S}{4T(t - t_0)} \right)$
2. $s_2 = \frac{Q_2 - Q_1}{4\pi T} W \left(\frac{r^2 S}{4T(t - t_1)} \right)$
3. $s_3 = \frac{Q_3 - Q_2}{4\pi T} W \left(\frac{r^2 S}{4T(t - t_2)} \right)$
4. $s_4 = \frac{Q_4 - Q_3}{4\pi T} W \left(\frac{r^2 S}{4T(t - t_3)} \right)$

时刻 t 的降深:

1. $t_0 < t \leq t_1, s = s_1$
2. $t_1 < t \leq t_2, s = s_1 + s_2$
3. $t_2 < t \leq t_3, s = s_1 + s_2 + s_3$
4. $t_3 < t \leq t_4, s = s_1 + s_2 + s_3 + s_4$

设共有 n 个时段, 且 $t_0 = 0, Q_0 = 0$. 当 $t_{n-1} < t < t_n$ 时

$$s = \frac{1}{4\pi T} \sum_{i=1}^n (Q_i - Q_{i-1}) W \left[\frac{r^2 S}{4T(t - t_{i-1})} \right]$$

如果每个时段抽水延续时间足够长,

$t - t_i \geq 25 \frac{r^2 S}{T} (i = 1, 2, \dots, n)$, Jacob 公式成立

$$s = \frac{0.183}{T} \sum_{i=1}^n (Q_i - Q_{i-1}) \lg \frac{2.25 T (t - t_{i-1})}{r^2 S}$$

5.2 有越流补给的半承压水完整井非稳定流模型

越流系统

包括越流含水层、弱透水层和相邻的含水层的地下水系统。

越流系统的类型

- 第一越流系统：忽略弱透水层弹性释放、忽略补给层水位变化；
- 第二越流系统：考虑弱透水层弹性释放、忽略补给层水位变化；
- 第三越流系统：忽略弱透水层弹性释放、考虑补给层水位变化。

5.2.1 Hantush-Jacob 模型

模型假设条件: 本节主要讨论第一越流系统。

- 每一层都是均质各向同性, 产状水平、等厚, 侧向无限延伸；
- 水流服从 Darcy 定律；
- 抽水过程中相邻含水层水头不变；
- 忽略弱透水层弹性释水, 弱透水层中水流为垂向一维流；
- 抽水含水层天然水力坡度为零, 抽水后形成平面径向流；
- 完整井定流量抽水, 井径无限小。

数学模型

$$\begin{cases} \frac{\partial^2 s}{\partial r^2} + \frac{1}{r} \frac{\partial s}{\partial r} - \frac{s}{B^2} = \frac{S}{T} \frac{\partial s}{\partial t} & t > 0, 0 < r < \infty \\ s|_{t=0} = 0 & 0 < r < \infty \\ s|_{r \rightarrow \infty} = 0 & t > 0 \\ \lim_{r \rightarrow \infty} (r \frac{\partial s}{\partial r}) = -\frac{Q}{2\pi T} & t > 0 \end{cases} \quad (\text{II})$$

模型的解 (Hantush-Jacob, 1955)

$$s = \frac{Q}{4\pi T} W\left(u, \frac{r}{B}\right)$$

式中, $u = \frac{r^2 S}{4Tt}$, $B = \sqrt{\frac{TM'}{K'}}$, $W(u, \frac{r}{B})$ 为越流井函数。

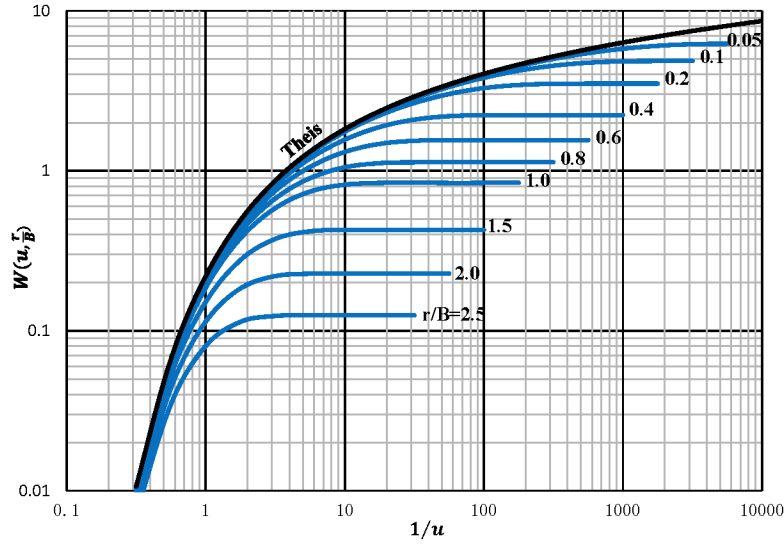
$$W\left(u, \frac{r}{B}\right) = \int_u^\infty \frac{1}{y} e^{-y - \frac{r^2}{4B^2 y}} dy$$

越流井函数的计算方法见试验材料。

标准曲线

对于不同的 $\frac{r}{B}$ 可以绘出 $W(u, \frac{1}{u})$ 标准曲线。

5 理想条件下的完整井非稳定流模型



5.2.2 Hantush-Jacob 公式讨论

(1) $s \sim t$ 曲线的变化规律

$s \sim t$ 曲线分早、中、晚三个阶段.

- 早期: 同 Theis 曲线一致, 越流尚未进入主含水层, 抽水量来自主含水层的弹性释水; r 一定时, B 越大, 与 Theis 曲线吻合的时间越长, 越流进入含水层的时间越晚.
- 中期: 偏离 Theis 曲线, 越流已经进入抽水含水层, 抽水量来自弹性释水与越流补给两部分. r 一定时, B 越大, 开始偏离的时间越晚.
- 晚期: 降深趋于定值. $t \rightarrow \infty$ 时 $W(u, \frac{r}{B}) \approx 2K_0(\frac{r}{B})$, 有

$$s \approx \frac{Q}{2\pi T} K_0\left(\frac{r}{B}\right)$$

即有越流补给的完整井流, 定流量抽水最终能达到稳定流.

(2) 水头下降速度

$$\frac{\partial s}{\partial t} = \frac{Q}{4\pi T} \frac{1}{t} e^{-\left(\frac{r^2 s}{4Tt} + \frac{\pi}{SB^2}\right)}$$

越流含水层水位下降速度比无越流含水层慢.

(3) 稳定流降深的近似公式及各种流量的关系

降深的近似公式

$x > 2$ 时 $K_0(x)$ 快速衰减; $x \ll 1$ 时, $K_0(x) \approx \ln\left(\frac{1.123}{x}\right)$ 。

有

$$s \approx \frac{Q}{2\pi T} \ln \frac{1.123B}{r}$$

当 $\frac{r}{B} < 0.35$ 时, 误差小于 5%; 当 $\frac{r}{B} < 0.18$ 时, 误差小于 1%。

抽水量与越流量、轴向侧流量的关系

径向距离 r 处的轴向侧流量

5 理想条件下的完整井非稳定流模型

$$Q_r = -2\pi r T \frac{\partial s}{\partial r} \approx Q \frac{r}{B} K_1\left(\frac{r}{B}\right)$$

由此得到抽水量与轴向侧流量关系

$$\frac{Q_r}{Q} \approx \frac{r}{B} K_1\left(\frac{r}{B}\right)$$

在 $r > 4B$ 范围, $\frac{Q_r}{Q} < 0.05$, 可以认为 $r < 4B$ 的区域内95%抽水量来自越流量。

5.3 有弱透水层弹性释水补给的半承压水完整井非稳定流模型

Hantush-Jacob 模型忽略弱含水层的弹性释水与补给含水层水位变化, 为第一越流系统。

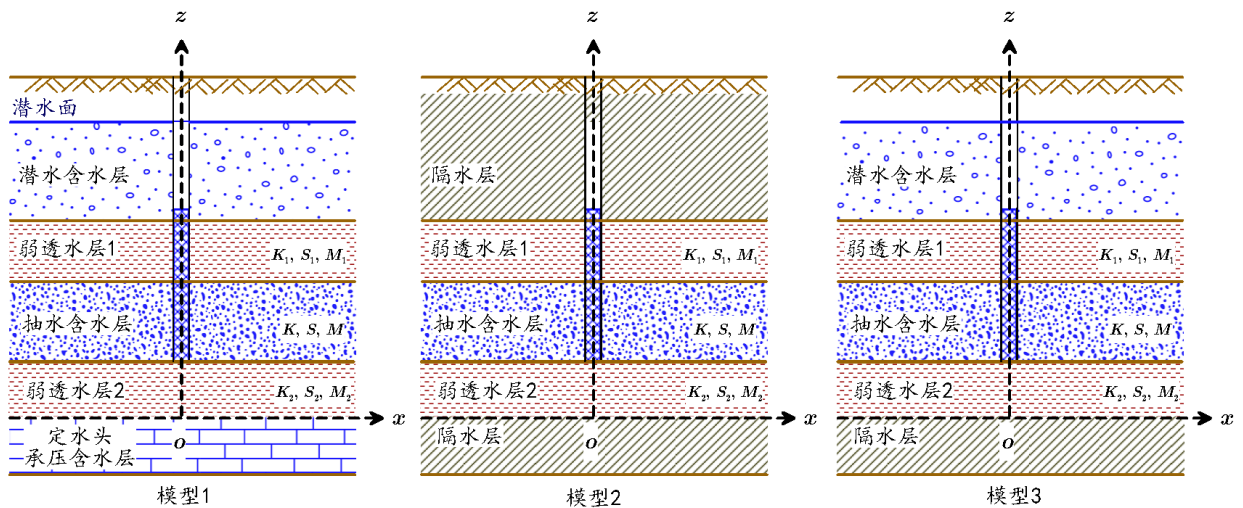
事实上, 对于多层结构的含水岩组, 含水层抽水时会引起弱透水层弹性释水, 当弱透水层较厚时, 这种补给量是可观的, 不能忽略。

M. S. Hantush (1960) 提出了三层结构模型属于第二越流系统。

5.3.1 Hantush 模型

Hantush 根据弱透水层弹性释水与相邻含水层关系, 给出了三种越流模型:

- 模型 1: 与两弱透水层相邻的是定水头含水层;
- 模型 2: 与两弱透水层相邻的是隔水层;
- 模型 3: 上弱透水层与定水头含水层相邻, 下弱透水层与隔水层相邻。



模型假设条件

- 含水层和弱透水层均质、各向同性, 产状水平、等厚、无限分布; 天然水力坡度为零;
- 单井定流量抽水;
- 弱透水层渗透系数与抽水含水层相比要小的多;
- 含水层抽水时, 能得到弱透水层弹性释水补给; 弱透水层中水流是垂向流, 抽水含水层中水流为水平径向流, 水流服从 Darcy 定律;
- 与弱透水层相邻为定水头含水层或隔水层。

数学模型

- 模型 1

抽水含水层

$$\begin{cases} T \left(\frac{\partial^2 s}{\partial r^2} + \frac{1}{r} \frac{\partial s}{\partial r} \right) + K_1 \frac{\partial s_1}{\partial z} - K_2 \frac{\partial s_2}{\partial z} = S \frac{\partial s}{\partial t} \\ s(r, 0) = 0 \\ s(\infty, t) = 0 \\ \lim_{r \rightarrow 0} r \frac{\partial s}{\partial r} = -\frac{Q}{2\pi T} \end{cases} \quad (\text{III-1})$$

下弱透水层

$$\begin{cases} K_2 \frac{\partial^2 s_2}{\partial z^2} = S_{s_2} \frac{\partial s_2}{\partial t} \\ s_2(r, z, 0) = 0 \\ s_2(r, 0, t) = 0 \\ s_2(r, m_2, t) = s(r, t) \end{cases} \quad (\text{III-2})$$

上弱透水层

$$\begin{cases} K_1 \frac{\partial^2 s_1}{\partial z^2} = S_{s_1} \frac{\partial s_1}{\partial t} \\ s_1(r, z, 0) = 0 \\ s_1(r, m_2 + M + m_1, t) = 0 \\ s_1(r, m_2 + M, t) = s(r, t) \end{cases} \quad (\text{III-3})$$

• 模型 2

抽水含水层

$$\begin{cases} T \left(\frac{\partial^2 s}{\partial r^2} + \frac{1}{r} \frac{\partial s}{\partial r} \right) + K_1 \frac{\partial s_1}{\partial z} - K_2 \frac{\partial s_2}{\partial z} = S \frac{\partial s}{\partial t} \\ s(r, 0) = 0 \\ s(\infty, t) = 0 \\ \lim_{r \rightarrow 0} r \frac{\partial s}{\partial r} = -\frac{Q}{2\pi T} \end{cases} \quad (\text{IV-1})$$

下弱透水层

$$\begin{cases} K_2 \frac{\partial^2 s_2}{\partial z^2} = S_{s_2} \frac{\partial s_2}{\partial t} \\ s_2(r, z, 0) = 0 \\ \frac{\partial}{\partial z} s_2(r, 0, t) = 0 \\ s_2(r, m_2, t) = s(r, t) \end{cases} \quad (\text{IV-2})$$

上弱透水层

$$\begin{cases} K_1 \frac{\partial^2 s_1}{\partial z^2} = S_{s_1} \frac{\partial s_1}{\partial t} \\ s_1(r, z, 0) = 0 \\ \frac{\partial}{\partial z} s_1(r, m_2 + M + m_1, t) = 0 \\ s_1(r, m_2 + M, t) = s(r, t) \end{cases} \quad (\text{IV-3})$$

• 模型 3

抽水含水层

$$\begin{cases} T \left(\frac{\partial^2 s}{\partial r^2} + \frac{1}{r} \frac{\partial s}{\partial r} \right) + K_1 \frac{\partial s_1}{\partial z} - K_2 \frac{\partial s_2}{\partial z} = S \frac{\partial s}{\partial t} \\ s(r, 0) = 0 \\ s(\infty, t) = 0 \\ \lim_{r \rightarrow 0} r \frac{\partial s}{\partial r} = -\frac{Q}{2\pi T} \end{cases} \quad (\text{V-1})$$

5 理想条件下的完整井非稳定流模型

下弱透水层

$$\begin{cases} K_2 \frac{\partial^2 s_2}{\partial z^2} = S_{s_2} \frac{\partial s_2}{\partial t} \\ s_2(r, z, 0) = 0 \\ \frac{\partial}{\partial z} s_2(r, 0, t) = 0 \\ s_2(r, m_2, t) = s(r, t) \end{cases} \quad (\text{V-2})$$

上弱透水层

$$\begin{cases} K_1 \frac{\partial^2 s_1}{\partial z^2} = S_{s_1} \frac{\partial s_1}{\partial t} \\ s_1(r, z, 0) = 0 \\ s_1(r, m_2 + M + m_1, t) = 0 \\ s_1(r, m_2 + M, t) = s(r, t) \end{cases} \quad (\text{V-3})$$

模型的近似解

根据 $s \sim t$ 曲线, 抽水可分三个阶段。其中, 抽水时间足够短及抽水时间足长时 Hantush 模型有近似解。

记 $S_1 = m_1 S_{s_1}$, $S_2 = m_2 S_{s_2}$ 。

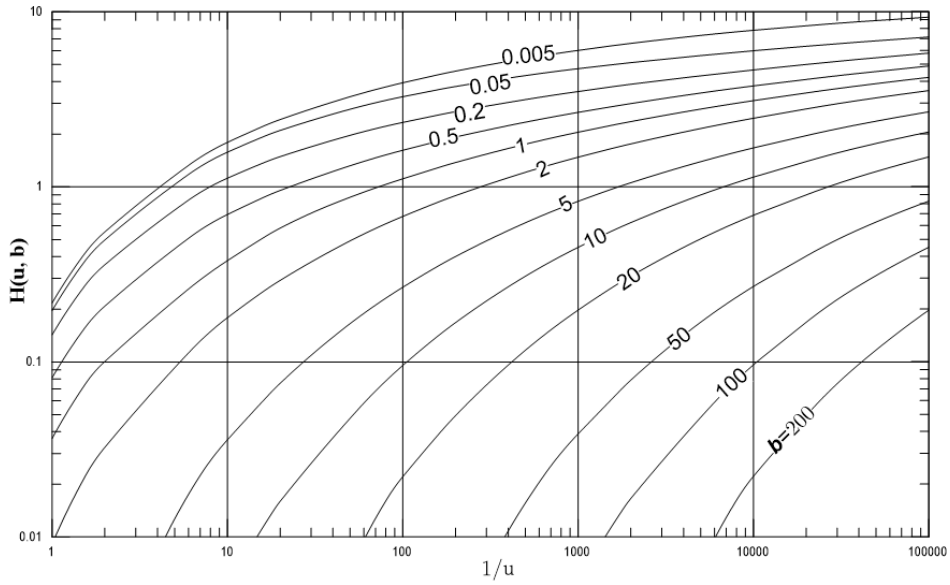
- 抽水初期的解

$t < \frac{m_1 S_1}{10 K_1}$, $t < \frac{m_2 S_2}{10 K_2}$ 时, 三种模型具有形式相同的近似解:

$$s = \frac{Q}{4\pi T} H(u, \beta) = \int_u^\infty \frac{e^{-y}}{y} \operatorname{erfc} \left[\frac{\beta \sqrt{y}}{\sqrt{y(y-u)}} \right] dy$$

式中, $u = \frac{r^2 S}{4Tt}$, $B_1 = \sqrt{\frac{Tm_1}{K_1}}$, $B_2 = \sqrt{\frac{Tm_2}{K_2}}$, $\beta = \frac{r}{4B_1} \sqrt{\frac{S_1}{S}} + \frac{r}{4B_2} \sqrt{\frac{S_2}{S}}$

标准曲线



- 抽水时间较长的解

模型 1: $t > 5 \frac{m_1 S_1}{K_1}$ 且 $t > 5 \frac{m_2 S_2}{K_2}$ 时

5 理想条件下的完整井非稳定流模型

$$s = \frac{Q}{4\pi T} W(u_1, \alpha)$$

式中

$$u_1 = \frac{r^2 \left(S + \frac{S_1}{3} + \frac{S_2}{3} \right)}{4Tt}, \quad \alpha = r \sqrt{\frac{1}{B_1^2} + \frac{1}{B_2^2}}$$

$W(u_1, \alpha)$ 为忽略弱透水层弹性释水的越流系统井函数 (Hantush – Jacob)。

模型 2: $t > 10 \frac{m_1 S_1}{K_1}$ 且 $t > 10 \frac{m_2 S_2}{K_2}$ 时

$$s = \frac{Q}{4\pi T} W(u_2)$$

式中

$$u_2 = \frac{r^2 (S + S_1 + S_2)}{4Tt}$$

$W(u_2)$ 为无越流含水层井函数 (Theis)。

模型 3: $t > 5 \frac{m_1 S_1}{K_1}$ 且 $t > 10 \frac{m_2 S_2}{K_2}$ 时

$$s = \frac{Q}{4\pi T} W(u_3, \frac{r}{B_1})$$

式中

$$u_3 = \frac{r^2 \left(S + \frac{S_1}{3} + S_2 \right)}{4Tt}$$

$W(u_3, \frac{r}{B_1})$ 为忽略弱透水层弹性释水的越流系统井函数 (Hantush–Jacob)。

5.3.2 公式讨论

- 当 $B_1, B_2 \rightarrow \infty$ 或 $S_1 = S_2 = 0$ 时, 公式简化为 Theis 公式:

$$s = \frac{Q}{4\pi T} W(u), \quad u = \frac{r^2 S}{4Tt}$$

- 对模型 1、模型 3 (定水头), 当 $K_2 = 0, S_1 = S_2 = 0$ 时,

$$s = \frac{Q}{4\pi T} W\left(u, \frac{r}{B}\right), \quad u = \frac{r^2 S}{4Tt}$$

此为忽略弱透水层弹性释水的越流系统井流公式。

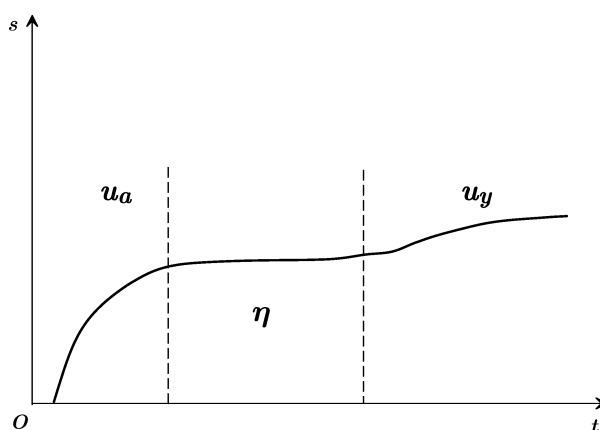
- 由 $H(u, \beta) - \frac{1}{u}$ 标准曲线知, s 随 β 增大而减小, 当 $\beta = 0$ 时为 Theis 曲线:
 - S_1, S_2 增大 (β 增大), s 减小;
 - r 增大 ($\frac{1}{u}$ 减小), s 减小;
 - B 减小 (β 增大), s 减小。

5.4 潜水完整井的非稳定流模型

5.4.1 潜水井流特征

- 潜水井流上界面是随时间变化的浸润曲面(自由面), 承压水井流为含水层顶板;
- 潜水井流导水系数 $T = Kh$ 随距离 r 和时间 t 而变化, 而承压水井流 $T = KM$ 与 r, t 无关;
- 潜水井流降深较大时, 垂向分速度不可忽略, 井附近为三维流; 近水平含水层的承压井流垂向分速度可忽略, 可近似地处理为二维流;
- 潜水井抽取的地下水主要来自含水层的重力疏干; 重力疏干不能瞬时完成, 而是逐渐被排放出来, 具有明显地迟后于水位下降的现象, 给水度长时间抽水后趋于定值; 承压水井抽取的地下水来自含水层贮存量释放, 接近于瞬时完成, 贮水系数是常数.

潜水井抽水时, 观测孔 $s-t$ 曲线有明显的分阶段变化特征。



- 早期: 抽水开始后的早期阶段, 水位刚刚下降, 重力排水还未起作用, 只有压力降低引起的弹性释水起作用, $s-t$ 曲线与 Theis 曲线一致, 时间可能仅几分钟. 含水层的反应和一个贮水系数小的承压含水层相似; 水流主要是水平运动.
- 中期: 疏干排水开始起作用, 含水层得到补给, 水位下降速度明显变缓, $s-t$ 曲线偏离 Theis 曲线, 曲线斜率减少, 甚至短时间稳定. 含水层的反应类似于一个有越流补给的承压含水层; 降落漏斗仍以缓慢速度扩展着.
- 后期: 滞后排水作用达到压力平衡, 影响逐渐减小, 重力排水与水位下降同步, 抽水量来自重力排水, $s-t$ 曲线又于 Theis 曲线一致. 给水度所起的作用相当于承压含水层的贮水系数.

潜水井流的研究思路

- 抽水附近按三维流处理;
- 远离抽水井的潜水井流可近似为二维流。

潜水井流的近似处理

远离抽水井的潜水井流可近似为二维流。

- 用 $H_m = \frac{1}{2}(H_0 + H)$ 近似地代替含水层厚度: 长时间抽水后, 迟后排水现象已不明显; 在降深不大的情况下 ($s \leq 0.1H_0$, H_0 为抽水前潜水流厚度), 可近似用承压井流公式作近似计算

$$s = \frac{Q}{4\pi H_m K} W(u), \quad u = \frac{r^2 \mu}{4KH_m t}$$

- 采用修正降深值, 直接利用 Theis 公式:

$$s' = s - \frac{s^2}{2H_0} = \frac{Q}{4\pi T} W(u), \quad u = \frac{r^2 S}{4Tt} (T = KH_0)$$

式中: s' 为修正降深; s 为实测降深; H_0 为潜水流初始厚度.

潜水完整井流模型分类

1. 考虑井附近流速垂直分量的第一潜水井流 Boulton 模型;

5 理想条件下的完整井非稳定流模型

2. 考虑迟后排水的 Boulton 第二潜水井流模型；
3. 既考虑流速垂直分量又考虑含水层弹性释水的 Neumann 模型。

本课程介绍后两种模型。

5.4.2 考虑迟后疏干的的 Boulton 模型

Boulton 假设

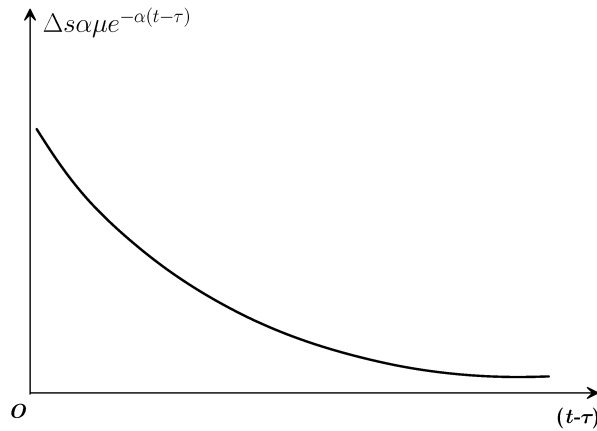
根据抽水过程中降深——时间曲线特征, Boulton 提出了考虑迟后疏干的计算方法。

假设 $\tau, \tau + \Delta\tau$ 时间段抽水, 潜水面下降了 Δs . 抽出水量由两部分组成:

- 弹性释水放出水量: 水位下降 Δs 时单位面积含水层弹性释水为 $S \cdot \Delta s \cdot 1$;
- 迟后疏干排出水量: 水位下降 Δs 时, 迟后疏干排出水量假设为:

$$\mu \cdot \Delta s \cdot 1 \cdot \alpha \cdot e^{-\alpha(t-\tau)}$$

式中: α — 经验系数.



用负指数处理迟后现象。

Boulton 假设合理性

- 单位面积含水层排水量 $\mu \cdot \Delta s \cdot 1 \cdot \alpha \cdot e^{-\alpha(t-\tau)}$ 与 $t - \tau$ 关系符合一般经验, 时间间隔越长, 排出的水量越小.
- τ 时刻之后, 若 $\Delta s = 1$, 则重力排水的总体积为:

$$\int_{\tau}^{\infty} \mu \cdot \alpha \cdot e^{-\alpha(t-\tau)} dt = \mu$$

等于含水层的给水度, 满足水量均衡条件, 符合实际情况;

- τ, t 时间段的迟后排水总量为:

$$\int_{\tau}^t \mu \cdot \Delta s \cdot \alpha \cdot e^{-\alpha(t-\tau)} dt = \mu \cdot \Delta s \cdot [1 - e^{-\alpha(t-\tau)}]$$

当 $t > \tau$ 时, 有迟后效应; 若 α 大, 则排出水量大, 迟后性小; $1/\alpha$ 称为延迟指数.

迟后疏干出水量的表示

5 理想条件下的完整井非稳定流模型

在抽水过程中从 0 至 t 时刻, 水位下降了 s . 单位面积含水层的疏干水量 q 可表示为 n 个 $\Delta\tau = \tau_i - \tau_{i-1}$ 对应降深为 $\Delta s_i = s_i - s_{i-1}$ 水量的叠加.

当 $n \rightarrow \infty$ 时

$$\begin{aligned} q &= \lim_{n \rightarrow \infty} \sum_{i=1}^n \mu \Delta s_i \alpha e^{-\alpha(t-\tau_i)} \\ &= \lim_{n \rightarrow \infty} \sum_{i=1}^n \mu \frac{\Delta s_i}{\Delta \tau_i} \alpha e^{-\alpha(t-\tau_i)} \Delta \tau_i \\ &= \int_0^t \mu \frac{\partial s}{\partial \tau} \alpha e^{-\alpha(t-\tau)} d\tau \end{aligned}$$

Boulton 模型假设

- 均质各向同性, 隔水底板水平侧向无限延伸的含水层;
- 初始水面水平;
- 完整井, 井径无限小, 定流量抽水, 降深 $s \ll H_0$;
- 水流服从 Darcy 定律;
- 抽水时, 含水层中的水不能瞬时排出, 存在着迟后现象.

Boulton 模型的数学表示

$$\begin{cases} T \left(\frac{\partial^2 s}{\partial r^2} + \frac{1}{r} \frac{\partial s}{\partial r} \right) = S \frac{\partial s}{\partial t} + \alpha \mu \int_0^t \frac{\partial s}{\partial \tau} e^{-\alpha(t-\tau)} d\tau \\ s(r, 0) = 0 \\ s(\infty, t) = 0 \\ \lim_{r \rightarrow 0} \left(r \frac{\partial s}{\partial r} \right) = -\frac{Q}{2\pi T} \end{cases} \quad \begin{matrix} t > 0 \\ t > 0 \end{matrix} \quad (\text{VI})$$

Boulton 模型的解

$$s = \frac{Q}{4\pi T} \int_0^\infty \frac{2}{x} \left\{ 1 - e^{-u_1} \left[\cosh(u_2) + \frac{\alpha \eta (1-x^2)t}{2u_2} \sinh(u_2) \right] \right\} J_0 \left(\frac{r}{\nu D} x \right) dx$$

式中,

$$\begin{aligned} u_1 &= \frac{\alpha t \eta (1+x^2)}{2}, & u_2 &= \frac{\alpha t \sqrt{\eta^2 (1+x^2)^2 - 4\eta x^2}}{2} \\ \eta &= \frac{S+\mu}{S}, & \nu &= \sqrt{\frac{\eta-1}{\eta}} = \sqrt{\frac{\mu}{S+\mu}} \\ D &= \sqrt{\frac{T}{\alpha \mu}} \end{aligned}$$

D 为疏干因素(量纲为L), $\sinh(u) = \frac{e^u - e^{-u}}{2}$, $\cosh(u) = \frac{e^u + e^{-u}}{2}$ 为双曲函数.

Boulton 模型的简化形式

当 $\eta \rightarrow \infty$ 时, 即 $\mu \gg S$ 时, Boulton 解可简化

$$S = \frac{Q}{4\pi T} \int_0^\infty \frac{2}{x} \left\{ 1 - \frac{1}{1+x^2} e^{-\frac{\alpha t x^2}{1+x^2}} - \frac{x^2}{1+x^2} e^{-\alpha \eta t (1+x^2)} \right\} J_0 \left(\frac{r}{D} x \right) dx$$

将Boulton 解进一步简化:

5 理想条件下的完整井非稳定流模型

(1) 当 t 相当小 (抽水初期) :

$$S = \frac{Q}{4\pi T} \int_{u_a}^{\infty} \frac{1}{y} e^{-y - \frac{r^2}{4D^2} y} dy = \frac{Q}{4\pi T} W(u_a, \frac{r}{D})$$

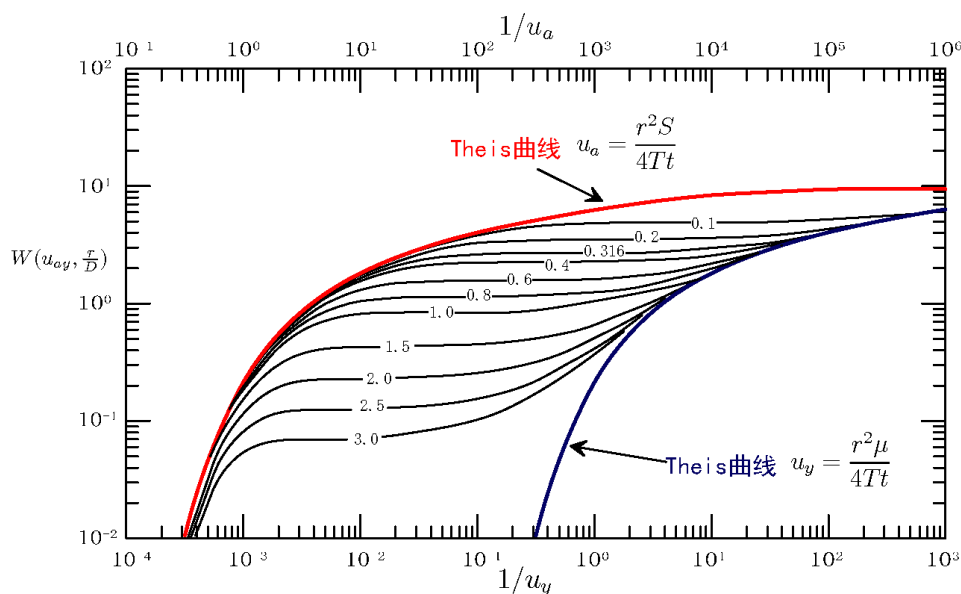
(2) 当 t 很大 (抽水延续时间较长) :

$$S = \frac{Q}{4\pi T} \int_0^{\infty} \frac{2}{x} \left\{ 1 - \frac{1}{1+x^2} e^{-\frac{x^2}{1+x^2} \frac{1}{u_y} \frac{r^2}{4D^2}} \right\} J_0\left(\frac{r}{D}x\right) dx = \frac{Q}{4\pi T} W(u_y, \frac{r}{D})$$

式中, $W(u_{ay}, \frac{r}{D})$ 为潜水含水层中完整井的井函数. 抽水早期, $u_{ay} = u_a = \frac{r^2 S}{4Tt}$; 抽水后期, $u_{ay} = u_y = \frac{r^2 \mu}{4Tt}$.

Boulton 模型标准曲线

在双对数纸上绘制标准曲线, $W(u_{ay}, \frac{r}{D})$ 为纵坐标, $\frac{1}{u_a}$ 为横坐标作 A 组曲线, $\frac{1}{u_y}$ 为横坐标作 B 组曲线, 然后用切线联 A、B 组曲线.



- 井函数曲线组反映了迟后排水的影响. 抽水初期, 以弹性释水为主, 水位降深同 A 组 Theis 曲线吻合.
- 持续抽水, 迟后重力排水发生影响后偏离 Theis 曲线, 下降速度变小, 并随的 r/D 不同, 以不同方式向水平线趋近.
- 抽水后期, 迟后重力排水影响减弱, 下降速度由小变大, 曲线斜率增加. 迟后重力排水影响基本结束时又趋向 B 组 Theis 曲线.

Boulton 模型按抽水过程的近似解

- 早期:

$$s = \frac{Q}{4\pi T} W(u_a, \frac{r}{D}), \quad u_a = \frac{r^2 S}{4Tt}$$

与忽略弱透水层弹性释水的越流系统井函数相同, 疏干因素 D 的作用相当于越流因素 B 的作用. $W(u_a, \frac{r}{D})$ 为潜水含水层 A 组井函数.

- 中期:

$$s = \frac{Q}{2\pi T} K_0\left(\frac{r}{D}\right)$$

5 理想条件下的完整井非稳定流模型

为忽略弱透水层弹性释水下的越流稳定解。

- 晚期：

$$s = \frac{Q}{4\pi T} W\left(u_y, \frac{r}{D}\right), \quad u_y = \frac{r^2 \mu}{4Tt}$$

$W(u_y, \frac{r}{D})$ 为潜水含水层 B 组井函数。

Boulton 模型讨论

- 早期：当 t 很小时(相当于抽水初期)，与 Hantush-Jacob 公式相同，潜水位下降的过程与越流含水层的过程相同。
- 中期：当 t 很大时(相当于抽水延续时间很长的情况)，与 Theis 公式相同，此时 $\bar{u} = \frac{r^2(S+\mu)}{4Tt}$ 。
- 晚期：在长时间抽水后，降深可以用 Theis 公式计算。

5.4.3 考虑流速垂直分量和弹性释水的 Neumann 模型

Boulton 延迟疏干模型的缺陷

- 延迟指数 $\frac{1}{\alpha}$ 缺乏明确的物理含义；
- 对确定的潜水含水层， α 不能保证是常数， α 不是一个物性参数；
- 难于解释潜水含水层的释水机制；
- 二维模型，无法解释抽水井附近三维流特征。

Neumann 模型的改进

- 是三维轴对称模型，包含 z 坐标变化对降深的影响与含水层的各向异性特征；
- 将潜水面作为活动边界，建立了潜水面变动的连续方程；
- 避免了潜水疏干释水所涉及的非饱和带问题；无需物理意义不明的延迟指数 α ，克服了 Boulton 延迟疏干模型的缺陷。

Neumann 模型的假设条件

- 含水层均质各向异性，侧向无限延伸，坐标轴和主渗透方向一致，隔水层水平；
- 初始潜水面水平；
- 水流服从 Darcy 定律；
- 完整井，定流量抽水；
- 抽水期间自由面上没有入渗补给或蒸发；潜水面降深和含水层厚度相比小得多。

Neumann 模型的数学表示

$$\left\{ \begin{array}{ll} K_r \left[\frac{\partial^2 s}{\partial r^2} + \frac{1}{r} \frac{\partial s}{\partial r} \right] + K_z \frac{\partial^2 s}{\partial z^2} = S_s \frac{\partial s}{\partial t} & t > 0, 0 < r < \infty, 0 < z < H_0 \\ s(r, z, 0) = 0 & 0 < r < \infty \\ s(\infty, z, 0) = 0 & t > 0 \\ K_z \frac{\partial}{\partial z} s(r, H_0, t) = -\mu \frac{\partial}{\partial t} s(r, H_0, t) & t > 0 \\ & 0 < r < \infty \\ \lim_{r \rightarrow 0} \int_0^{H_0} r \frac{\partial s}{\partial r} dz = -\frac{Q}{2\pi K_r} \end{array} \right. \quad (\text{VII})$$

Neumann 模型的解

$$s(r, z, t) = \frac{Q}{4\pi T} \int_0^\infty 4y J_0\left(y\beta^{\frac{1}{2}}\right) \left[\omega_0(y) + \sum_{n=1}^\infty \omega_n(y) \right] dy$$

式中

$$\omega_0(y) = \frac{\{1 - \exp[-t_s \beta(y^2 - \gamma_0^2)]\} \cosh(\gamma_0 z_d)}{\{y^2 + (1 + \sigma)\gamma_0^2 - [(y^2 - \gamma_0^2)^2/\sigma]\} \cosh(\gamma_0)} \\ \omega_n(y) = \frac{\{1 - \exp[-t_s \beta(y^2 + \gamma_n^2)]\} \cosh(\gamma_n z_d)}{\{y^2 - (1 + \sigma)\gamma_n^2 - [(y^2 + \gamma_n^2)^2/\sigma]\} \cos(\gamma_n)}$$

γ_0, γ_n 分别为下面两方程的根:

$$\begin{aligned} \sigma \gamma_0 \sinh(\gamma_0) - (y^2 - \gamma_0^2) \cosh(\gamma_0) &= 0, & \gamma_0^2 < y^2 \\ \sigma \gamma_n \sin(\gamma_n) + (y^2 + \gamma_n^2) \cos(\gamma_n) &= 0, & (2n-1)\frac{\pi}{2} < \gamma_n < n\pi (n \geq 1) \end{aligned}$$

Neuman 解有 4 个参数:

$$t_s = \frac{Tt}{Sr^2} (t_y = \frac{Tt}{\mu r^2}), \quad z_d = \frac{z}{H_0}, \quad \sigma = \frac{S}{\mu}, \quad \beta = \frac{r^2 K_z}{H_0^2 K_r}$$

记 $K_d = \frac{K_r}{K_r}$, $h_d = \frac{H_0}{r}$, $\beta = K_d/h_d^2$

z_d 为三维流的参数。

对完整观测井, 降深 s 需用沿 z 的平均降深表示, 计算公式不变:

$$s(r, t) = \frac{1}{H_0} \int_0^{H_0} s(r, z, t) dz = \frac{Q}{4\pi T} \int_0^\infty 4y J_0(y \beta^{\frac{1}{2}}) \left[\omega_0(y) + \sum_{n=1}^\infty \omega_n(y) \right] dy$$

其中 ω, ω_n 为

$$\begin{aligned} \omega_0(y) &= \frac{\{1 - \exp[-t_s \beta(y^2 - \gamma_0^2)]\} \tanh(\gamma_0)}{\{y^2 + (1 + \sigma)\gamma_0^2 - [(y^2 - \gamma_0^2)^2/\sigma]\} \gamma_0} \\ \omega_n(y) &= \frac{\{1 - \exp[-t_s \beta(y^2 + \gamma_n^2)]\} \tan(\gamma_n)}{\{y^2 - (1 + \sigma)\gamma_n^2 - [(y^2 + \gamma_n^2)^2/\sigma]\} \gamma_n} \end{aligned}$$

解有 3 个参数 (z 方向的降深平均化):

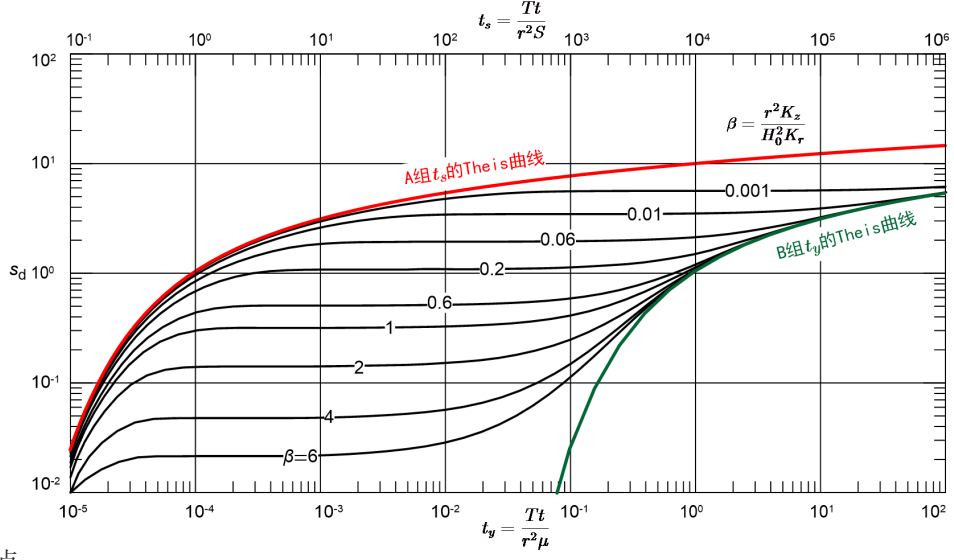
$$t_s = \frac{Tt}{Sr^2} (t_y = \frac{Tt}{\mu r^2}), \quad \sigma = \frac{S}{\mu}, \quad \beta = \frac{r^2 K_z}{H_0^2 K_r}$$

Neuman 标准曲线

(1) 式中包含 3 个独立的无量纲变量, 为了便于作图, 假设 S 远小于 μ , 即 $\sigma = 0$ 。从而可以绘出两组标准曲线:

- 以 β 为参变量, 以 t_s 计算无量纲降深 s_d 作出 A 组曲线 $t_s \sim s_d$, 坐标 t_s 标在图的上端;
- 以 β 为参变量, t_y 计算无量纲降深 s_d , 作出 B 组曲线 $t_y \sim s_d$, 坐标 t_y 标在图的下端;
- A 组曲线右边部分和 B 组曲线左边部分都趋近于一组水平的渐近线。当 $\sigma = 0$ 时二组标准曲线相距无限远, 因此必须采用不同的尺度才能绘在一张图纸上。
- A 组曲线用以分析早期的降深资料; B 组曲线用以分析晚期的降深资料。

5 理想条件下的完整井非稳定流模型



Neuman 解的特点

没有重力排水 ($\mu = 0$, 相当于抽水初期), 可以证明 Neuman 解具有 Theis 解的形式:

$$s(r, t) = \frac{Q}{4\pi T} \int_{u_s}^{\infty} \frac{e^{-y}}{y} dy = \frac{Q}{4\pi T} W(u_s)$$

式中, $u_s = \frac{r^2 S}{4Tt}$.

长时间抽水 ($t \rightarrow \infty$, 相当于没有了弹性释水), Neuman 解也具有 Theis 解的形式:

$$s(r, t) = \frac{Q}{4\pi T} \int_{u_y}^{\infty} \frac{e^{-y}}{y} dy = \frac{Q}{4\pi T} W(u_y)$$

式中, $u_y = \frac{r^2 \mu}{4Tt}$.

抽水初期, 弹性释水起主要作用 ($u_s = \frac{r^2 S}{4Tt}$);

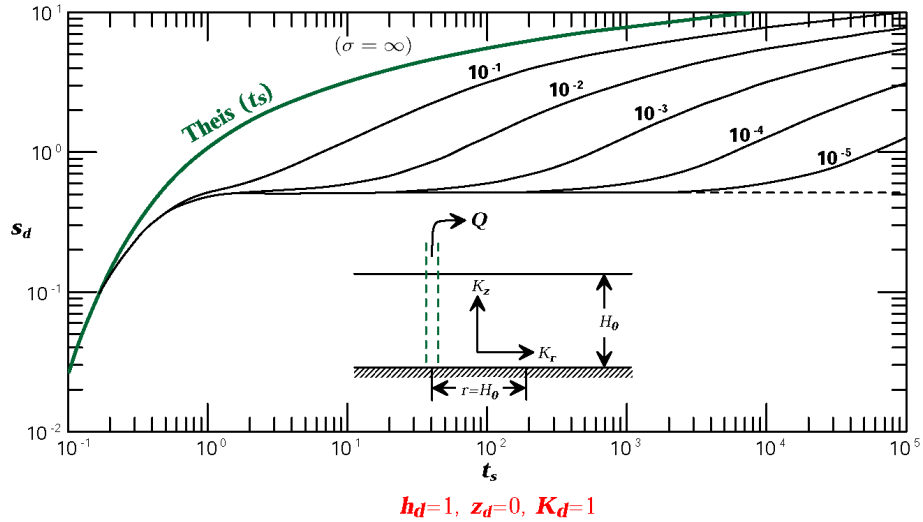
抽水后期, 重力释水起主要作用 ($u_y = \frac{r^2 \mu}{4Tt}$).

井附近降深分析

记 $s_d = \frac{4\pi T}{Qs}$ 为无量纲降深.

- 含水层各向同性, 观测点位于距抽水井 H_0 的含水层底部 ($Z_d = 0$, $h_d = 1$, $K_d = 1$) $s_d \sim t_s$ 曲线:

5 理想条件下的完整井非稳定流模型

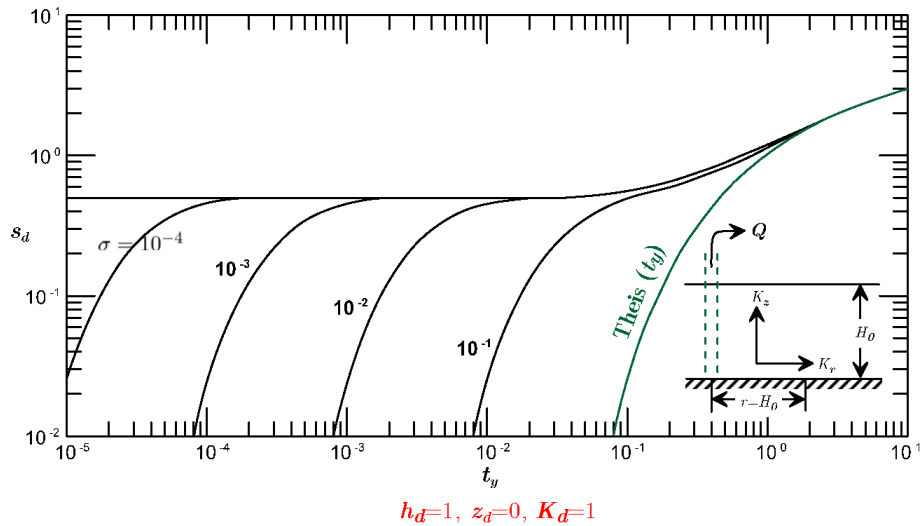


第一阶段（早期）：抽水量来自弹性释水；

第二阶段：重力排水起作用， σ 越小，该阶段越长；

第三阶段：弹性释水影响消失，曲线再次与Theis一致。

- 含水层各向同性，观测点位于距抽水井 H_0 的含水层底部 ($Z_d = 0, h_d = 1, K_d = 1$) $s_d \sim t_y$ 曲线：

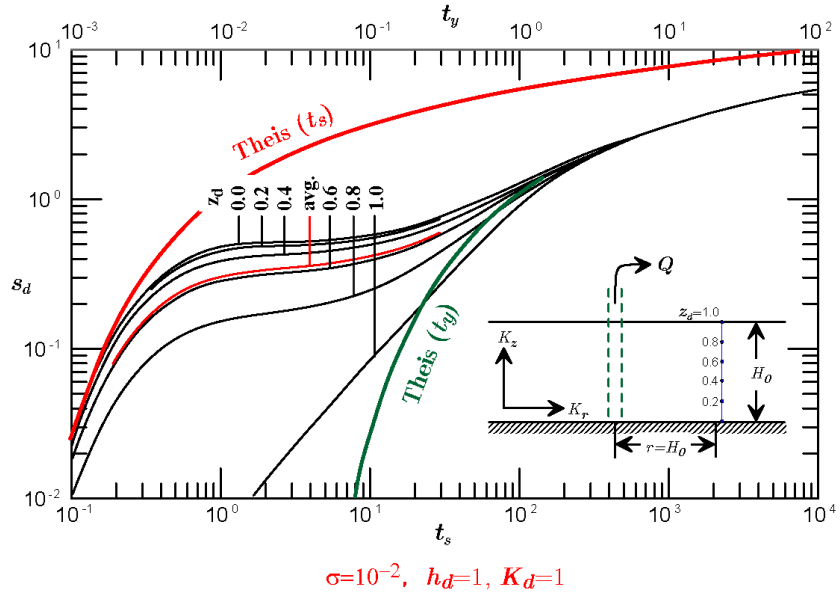


σ 越小，第一阶段时间越短. 尽管潜水含水层的 S_s 比 μ 小得多，弹性释水的影响还不能完全忽略.

- 含水层各向同性，观测点位于距抽水井 H_0 的含水层断面上 ($h_d = 1, K_d = 1$)

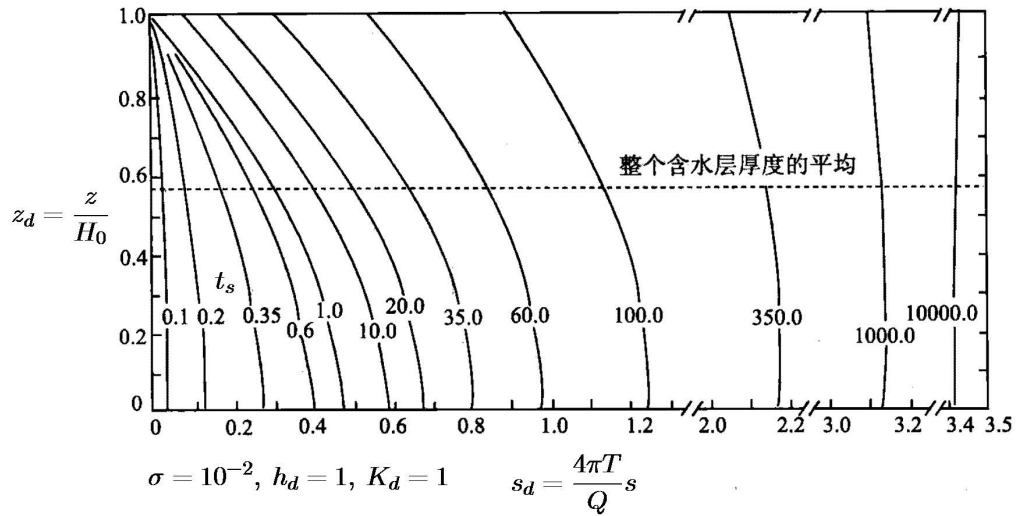
z_d 对降深 s_d 的影响：设 $\sigma = 10^{-2}$.

5 理想条件下的完整井非稳定流模型



抽水的早、中期，潜水面处的降深小于垂向任意一点的降深，此即迟后排水或潜水面反应滞后的现象。

- 含水层各向同性，观测点位于距抽水井 H_0 的含水层断面上 ($h_d = 1, K_d = 1$) 水流状态的变化：设 $\sigma = 10^{-2}$ 。

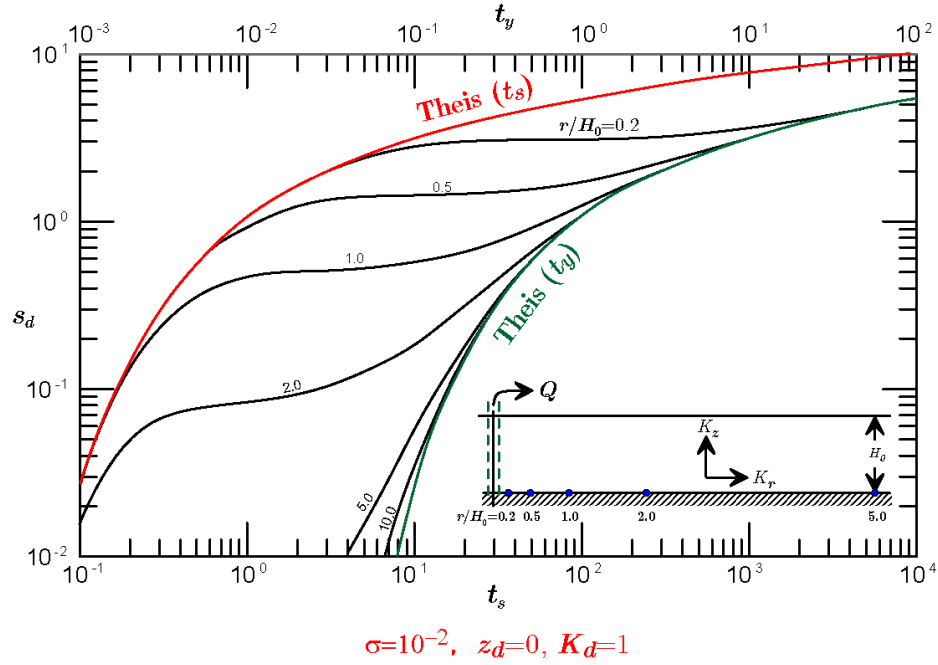


抽水的早、晚期，降深分布曲线基本上是垂直的，与 Dupuit 假设一致。

抽水中期，含水层上部存在明显的渗透速度垂直分量。

- 含水层各向同性，观测点位于含水层底部 ($z_d = 0, K_d = 1$) $s_d \sim t_{s,y}$ 曲线随 r 的变化：设 $\sigma = 10^{-2}$ 。

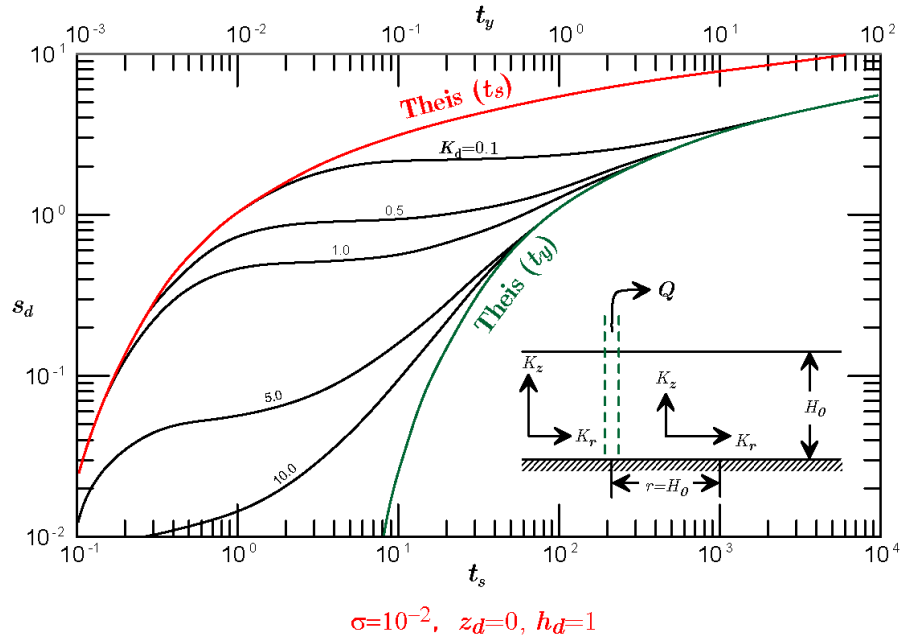
5 理想条件下的完整井非稳定流模型



随着 r 增大，弹性释水作用逐渐减弱， $r > 10H_0$ 的地段可以完全忽略不计；

潜水面滞后反应随 r 增大而减弱，降深-时间曲线的三个阶段仅在 r 不大的情况下才会显现。

- 含水层各向异性，观测点位于距抽水井 H_0 的含水层底部 ($z_d = 0, h_d = 1$) 各向异性影响: 设 $\sigma = 10^{-2}$ 。



K_d 越小，渗透速度的水平分量越比垂向分量，弹性释水和迟后反应越明显。